

المجلة الأردنية للفيزياء

ARTICLE

تشابه التصرف مع علاقة باشن في التفريغ الراديوسي في غاز الأركون

ياسر عبد الجواد عبد الله الجوادي

قسم الفيزياء، كلية العلوم، جامعة الموصل، الموصل، العراق.

Received on: 20/6/2011; Accepted on: 26/9/2011

الملخص: تم في هذا البحث استخدام منظومة تجريبية للتفریغ التوهجي الراديوسي الذي يتربّد 13.56 ميكاهرتز لدراسة العلاقة بين ضغط غاز الأركون داخل حجرة التفریغ والقدرة الازمة لإحداث الانهيار التوهجي. أظهرت النتائج العملية أن تلك العلاقة رغم تشابهها في بعض الخواص العامة مع معادلة باشن إلا أن معادلة باشن بشكلها التقليدي الذي يصف التفریغ باستخدام الجهد المستمرة لا يمكن ان تعطي وصفاً كمياً جيداً لتلك النتائج. على هذا الأساس تم إجراء تحوير على المعادلة مما أدى إلى الوصول إلى توافق جيد مع النتائج العملية. كما أظهرت الدراسة وجود انعكاسات واضحة لعلاقة باشن على طبيعة عملية الانتقال من النمط السعوي إلى النمط الحسي للتفریغ.

Paschen like Behavior in Argon RF Discharge

Yaser Al-Jwaady: Physics Department, College of Science, Mosul University, Mosul, Iraq.

Abstract: A 13.56 MHz radio frequency inductively coupled discharge system is used in this work to study the relation between Argon gas pressure in the discharge chamber and the threshold breakdown RF power needed to create the discharge. Experimental results indicated that although the data involve some features related to the traditional Paschen relation used in DC discharges, this relation cannot provide a quantitative description of experimental data. For such reason, a modified form of Paschen relation is suggested. The modified relation provides good agreement with experimental data. Furthermore, it seems that the Paschen relation will have significant reflections on the behavior of the transit process from capacitive to inductive discharge. This is demonstrated by studying the transit region.

PACS: 52.25-b Plasma Properties-51.50+V Electrical Properties.

Keywords: RF Plasma; Breakdown plasma; Paschen; Glow Discharge.

المقدمة

على الرغم من الاستخدام الواسع لهذه التقنية في الكثير من التطبيقات المتعلقة بمعالجة السطوح.

قد يكون السبب في قلة هذا النوع من الدراسات هو السهولة النسبية التي يمكن بواسطتها إحداث هذا النوع من التفريغ بشقيه السعوي والحسي. لذلك فإن مسألة الاهتمام بالحدود الدنيا لشروط إحداث الانهيار لم تلاق اهتماماً كبيراً لدى الباحثين. على الرغم من

على الرغم من العدد الهائل من الدراسات المتعلقة بالانهيار الكهربائي التوهجي باستخدام الجهد المستمر. التي تتوفّر خلال المئة سنة الماضية حيث شملت تلك الدراسات مختلف الغازات والضغوط والترتيبات الهندسية [1-5] إلا أن ما يماثل تلك الدراسات قدر تعلق الأمر بالتفریغ التوهجي الراديوسي قليل نسبياً على

إن النقطة الأساسية في هذا العمل هي محاولة معرفة النقطة التي يبدأ عندها التفريغ التوهجي بالحدوث. إن الاعتماد على الملاحظة البصرية لظهور التوهج لا يمكن أن يوفر مقاييسًا دقيقاً، لذلك فقد تم تصميم منظومة الكترونية يمكنها التحسس السريع والدقيق ليس فقط بلحظة بدء التفريغ التوهجي بل بطريقة تطوره مع زيادة القدرة.

تعتمد المنظومة في الأساس على وضع مجس كهربائي داخل الحجرة. يتكون المجس من سلك من التكستن قطره 0.5 ملم محاط بجدار زجاجي بشكل كامل عدا الجزء المعرض للبلازما والبالغ طوله 1 ملم. يكون هذا المجس ذا جهد موجب بدرجة كبيرة إلى الحد الذي يجعله ضمن منطقة عمل تيار التشبع الإلكتروني لمجس لأنكمور. إن حصول أي تفريغ داخل الحجرة سيؤدي إلى تكون تيار الكتروني في المجس. تم ربط المجس إلى دائرة اكتساب بيانات حاسوبية تقوم بتسجيل تيار المجس بشكل متزامن مع تغير القدرة الراديوية المسلط على الملف. ولأجل الحصول على التناغم الذي ورد ذكره فقد تم تصميم آلية كهروميكانية تتضمن وجود محرك كهربائي صغير يقوم بتغيير القراءة الصادرة عن المصدر الراديوسي فور البدء باكتساب البيانات عن طريق إيعاز صادر من الحاسبة. يقوم المحرك الكهربائي بتحريك بكرة زيادة القدرة للمولد الراديوسي بسرعة ثابتة باستخدام دائرة تحكم الكترونية في نفس الوقت الذي تقوم فيه الحاسبة الإلكترونية باكتساب البيانات الخاصة بتيار الكهربائي المار في المجس. تم اكتساب البيانات الخاصة بتيار المجس بسرعة مقدارها 40000 قياس في الثانية الواحدة مما يضمن تحسساً دقيقاً تجاه التغيرات السريعة والآتية في كثافة البلازما.

عند بدء التشغيل وعند القدرات الواطئة وعدم وجود تفريغ فإن تيار المجس سيكون صفرًا تقريباً. حال بدء التفريغ فإن الجهد الموجب العالي للمجس سيؤدي إلى قيام المجس بسحب تيار مساري لتيار التشبع الإلكتروني والذي بدوره يتتناسب مع كثافة الإلكترونيات في البلازما المتولدة. إن هذا الترتيب يعطي مقاييساً ليس فقط عن مقدار قدرة العتبة التي يحدث عنها التفريغ بل أيضاً عن كيفية تطور كثافة البلازما مع زيادة القدرة. إن معرفة هذا التطور يؤدي إلى الحصول على معلومات مهمة تتعلق بطبيعة انتقال البلازما من طور

ذلك فان هناك بعض المحاولات لدراسة هذا الموضوع [6] Lisovskiy and Yegorenkov بدراسة موسعة شملت مدى واسعاً من الضغوط لعلاقة جهد التفريغ التوهجي مع الضغط في الأركون والميدروجين والهوا توصلاً من خلالها وجود التواء في منحنيات العلاقة بين الضغط وجهد التفريغ باستخدام مجالات هجينه مستمرة راديوية بتردد 10 ميكاهرتز. ومن أهم التأثيرات التي تمت مناقشتها تولد تواقيع ذات طول موجي يساوي ضعف الطول الموجي الأصلي ويبينوا أن هذا التأثير سوف يعطي منحنى تفريغ يختلف بدرجة كبيرة عن المنحنى الناتج عن الترددات التقية. كما قام Park وجماعته [7] بدراسة علاقة جهد الانهيار تحت الضغط الجوي مع المسافة الفاصلة بين القطبين في التفريغ الراديوي السعوي بتردد 13.56 ميكاهرتز في غاز الهليوم الذي أضيف إليه كميات صغيرة من الأركون أو الأوكسجين أو النيتروجين ويبينوا أن علاقة جهد الانهيار تشابه إلى حد كبير الجهة اليمنى من منحنى باشن رغم اعتماد تلك العلاقة على التردد بدرجة كبيرة. كما بين Lisovskiy وجماعته [8] وجود تشابه بين علاقة جهد الانهيار باستخدام الترددات الراديوية المختلفة في التفريغ السعوي في حالة تحقق شرط كون حاصل ضرب التردد والمسافة بين الأقطاب متساوياً. قدم Moon وجماعته [9] نتائج تجربة لعمليات الانتقال من النمط α إلى النمط β للتفريغ العادي وفوق العادي في التفريغ التوهجي الراديوي السعوي باستخدام تردد 13.56 ميكاهرتز. ويبينوا أن هناك تشابهاً مع منحنى باشن.

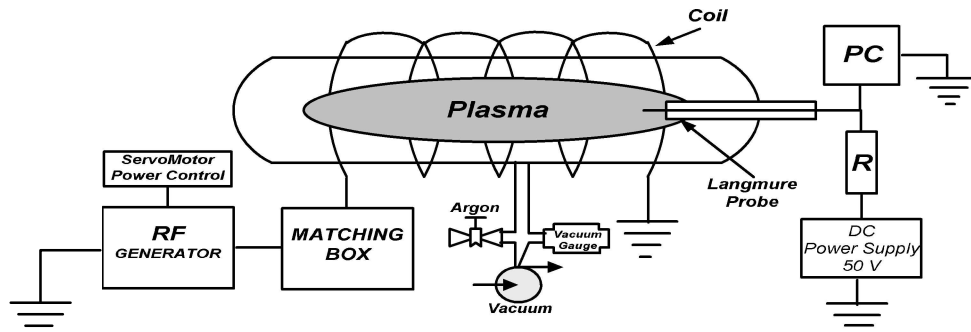
المنظومة التجريبية

ت تكون المنظومة التي تم استخدامها وكما موضح في الشكل (1) من حجره زجاجي اسطواني محاطة بملف اسطواني متصل بمصدر الموجات الراديوية Coaxial 13.56 ميكاهرتز المصنوع من قبل شركة Power Systems Ltd والذي تبلغ قدرة القصوى 600 واط. يتصل المصدر بملف الحث المحيط بحجرة التفريغ من خلال منظومة موائمة اوتوماتيكية مصنعة من قبل الشركة ذاتها. تتصل الحجرة إضافة إلى فتحة تفريغ الغاز بمنظومة ثنائية الصمامات لإدخال الغاز والتحكم بالضغط داخل الحجرة وبالاستعانة بمقاييس الضغط المتصل بالحجرة.

الحجرة. وقد كانت قيم الضغط المستخدم من 0.5-0.5 باسكال وبزيادة مقدارها 0.1 باسكال. تمت عملية اكتساب البيانات وتحليلها باستخدام برنامج ماتلاب.

التفريغ السعوي إلى طور التفريغ الحثي. إن المسألة الأخيرة تعتبر من المسائل المهمة في تصميم منظومات التفريغ التوهجي الراديوي.

تم استخدام هذه المنظومة في دراسة علاقة قدرة العتبة الازمة لـ إحداث الانهيار مع ضغط الغاز داخل الحجرة ولستة وعشرون قيمة لضغط غاز الأركون داخل



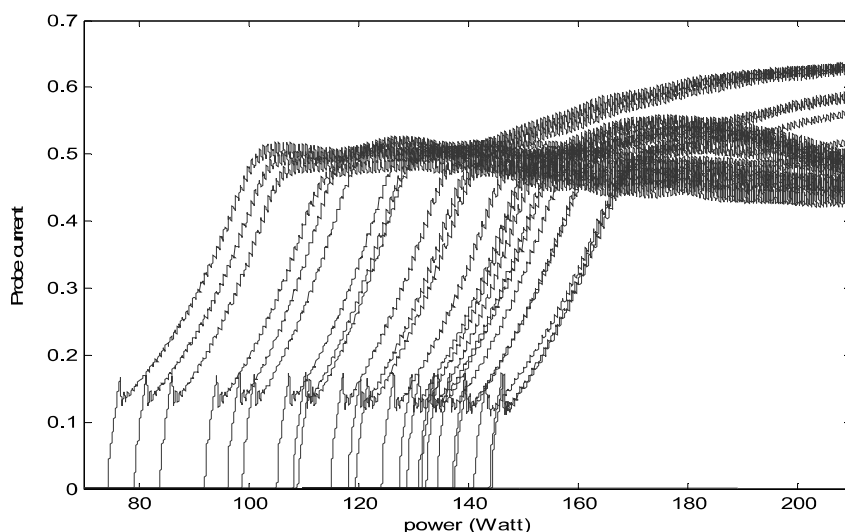
الشكل (1): مخطط للمنظومة التجريبية المستخدمة

النتائج والمناقشة

تحليل العلاقة مع الضغط سيأتي لاحقا وذلك من خلال فصل كل منحنى من هذه المنحنيات على حده وإن عرض الشكل بهذه الصورة قد جاء فقط لإعطاء صورة شاملة لكل القياسات التي تم إجراؤها على رسم واحد بدلا من الحاجة إلى استخدام 26 رسمًا منفصلًا.

يعرض الشكل (2) مجملًا لجميع النتائج التي تم تسجيلها من قبل منظومة اكتساب البيانات أثناء التجربة ولمختلف الضغوط ويبين الشكل تطور تيار المحسس عند كل ضغط.

إن تسلسل ظهور المنحنيات من اليسار إلى اليمين لا يمثل بالضرورة الزيادة التصاعدية في الضغط وإن

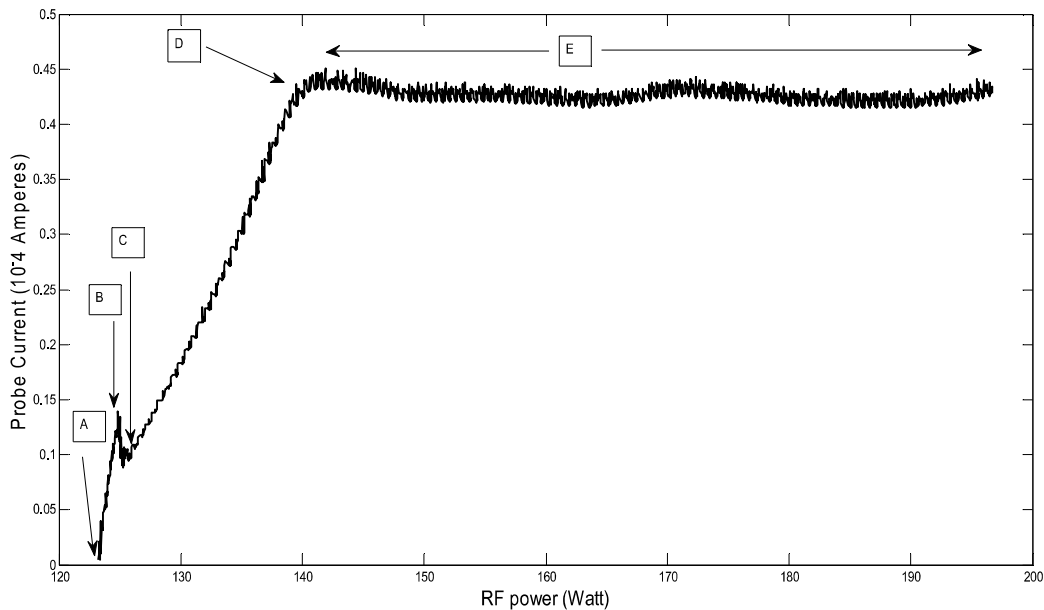


الشكل (2): مجمل القياسات الخاصة بتيار المحسس مع القدرة لمختلف الضغوط

قيم القدرات التي تبدأ عندها كل مرحله من المراحل بالحدوث تعتمد على الضغط طبعا.

يمثل الشكل (3) رسما لأحد المنحنies الموجودة في الشكل (2) وهو يمثل القياسات المأخوذة عند الضغط 1.5 باسكال

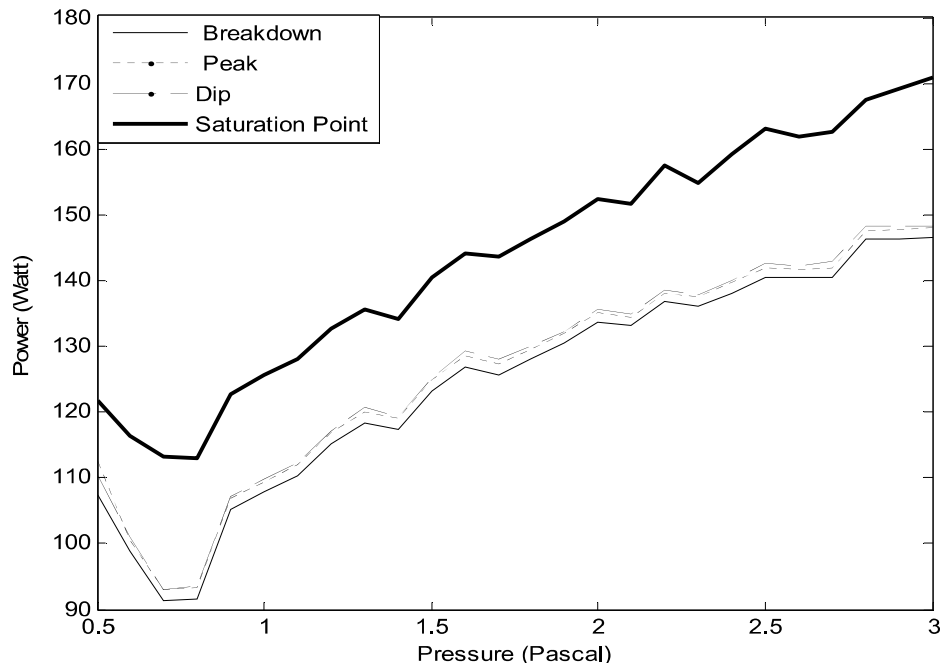
ولأجل إلقاء الضوء على ما تعنيه هذه المنحنies وبالرجوع إلى الشكل (3) فإن من الممكن القول بأن ما يعكسه كل من هذه المنحنies يمثل وجود ثلاثة مراحل مختلفة لتطور البلازما مع زيادة القدرة. ونظرا للتشابه الكبير في أشكال هذه المنحنies فإنه يمكن الاستنتاج بأن طبيعة مراحل التطور لا تعتمد على الضغط ولكن



الشكل (3): أحد منحنies التطور عند الضغط 1.5 باسكال يبين علاقة تيار المجس مع القدرة موضح عليه مختلف نقاط التحول.

تمثل النقطة (A) اللحظة الأولى لبدء حدوث الانهيار التوهجي الذي يستغرق فترة صغيرة جدا ليكتمل معتمدا على التفريغ السعوي للوصول إلى النقطة (B) ويکاد يكون مقدار التيار الذي يسحبه المجس لجميع الضغوط عند لحظة بدء التوهج متساويا ولا يعتمد على الضغط. إن معدل قيمة فرق القدرات بين النقطة (A) و(B) ولجميع الضغوط هو $1.5 \pm 9\%$ واط وتمثل فترة زمنية تبلغ حوالي 0.1 ± 0.01 ثانية وعلى اعتبار أن مسح قيم القدرات من صفر وحتى

لقد تم تحديد نقاط التحول الموضحة في الشكل (3) لجميع المنحنies المبينة في الشكل (2) ولجميع الضغوط. تم رسم قيم القدرات التي تحدث عندها هذه التحولات في الشكل (4).



الشكل (4): علاقات تغير القدرة اللازمة لإحداث التفريغ والانتقال من مرحلة إلى أخرى.

$$\frac{V_{BK}}{d} = E_{BK} = \frac{p}{\ln(pd) + b} \quad (2)$$

إن تطبيق هذه العلاقة على التفريغ التوهجي الحثي بالموجات الراديوية يتطلب بعض الحذر، فإن جهد الانهيار V_{BK} في العلاقة (1) يكفي مجالاً كهربائياً مقداره E_{BK} بحيث تكون الطاقة التي يكتسبها الإلكترونون من هذا المجال خلال مسافة طولها معدل طول المسار الحر مساوية أو أكبر من طاقة التأين الجزيئات الغاز ϕ أي أن:

$$e\rho E_{BK} = \phi \quad (3)$$

حيث تمثل e شحنة الإلكترون و ρ معدل طول المسار الحر.

إن عملية ضخ الطاقة في التفريغ الحثي لا تعتمد على استخدام فرق جهد أو مجال كهربائي خارجي بل يحدث التفريغ عندما تصبح قيمة المجال الكهربائي المصاحب للمجال المغناطيسي الذي يولده ملف الحث مساوياً أو أكبر من قيمة مجال الانهيار. إن عملية التفريغ الحثي تتضمن ضخ القدرة مغناطيسياً وما يتم قياسه في الحقيقة هو مقدار القدرة الدالة إلى الملف. وإن المجال الكهربائي E المتولد داخل الغاز يرتبط بالكثافة السطحية لقدرة P بالعلاقة:

يتبيّن من ملاحظة الشكل (4) إن تصرف مختلف نقاط التحول مع الضغط مشابه إلى حد كبير لتصريف القدرة اللازمة لإحداث التفريغ لأول مرة ولذلك فإن التركيز سيكون على منحنى القدر الأولي *Breakdown* الممثل بالنقطة (A).

يكتب الشكل (4) أهمية من ناحية كونه ولقيم الضغوط التي تقل عن 3 باسكال يشابه إلى حد كبير منحنى باشن المعروف في التفريغ باستخدام الجهد المستمر حيث يلاحظ حدوث انخفاض واضح في القدرة الراديوية اللازمة لإحداث التفريغ مع زيادة الضغط ما بين 0.5 و 1.4 باسكال تعود بعدها تلك القدرات بالارتفاع مع الزيادة في الضغط.

ولأجل التحقق من هذا التصرف فقد تم مواءمة النتائج التجريبية مع علاقة محورة عن علاقة باشن. ولأجل توضيح التحويل الذي تم استخدامه نذكر هنا أن معادلة باشن تعطي وصفاً جيداً لعلاقة جهد الانهيار بكل من الضغط والمسافة الفاصلة بين القطبين في التفريغ باستخدام المجال المستمر بالشكل:

$$V_{BK} = \frac{pd}{\ln(pd) + b} \quad (1)$$

وهذه العلاقة يمكن إعادة كتابتها بالشكل التالي:

المعادلة (5) لا تصلح كأساس لوصف العلاقة بين قدرة الانهيار والضغط. إن السبب في ذلك قد يعود إلى وجود المجال المغناطيسي المتغير لل WAVES الراديويات الذي يعمل على زيادة عدد التصادمات غير المرنة نتيجة لتأثيره في جعل الإلكترونات تسلك مسارات لولبية بين كل تصادمين مما يؤدي إلى سهولة أكبر في إحداث التفريغ. إن عدد التصادمات يزداد بزيادة الضغط لقد جرت في السابق محاولات لاستخدام علاقات محورة عن معادلة باشن تحت ظروف معينة ذكر منها ما قام به Shea و Carazzetti [10] باستخدام صيغة محورة عن معادلة باشن لتطبيقها على الحالات التي تكون فيها المسافة بين القطبين صغيرة جدا (500-10) ميكرون ولذلك فإنه قد يكون من المفيد التعبير عن تأثير المجال المغناطيسي أعلى عن طريق تحويل المعادلة (5) بإضافة حد آخر يعتمد على الضغط بشكل أو بأخر وبذلك تأخذ هذه المعادلة الشكل التالي

$$P_{BK} = \frac{Ap^2}{(\ln(Bp) + C)^2} + Dp^n \quad (6)$$

حيث n , D هي ثوابت مواءمة حرة جديدة ولقد وجد من خلال إجراء المواءمة بـ المعادلة (6) توافق مع النتائج العملية بشكل أفضل من المعادلة (5) وتبيّن أن أفضل توافق يكون باستخدام $n = 2$ أي أن الحد الإضافي يتّناسب مع مربع الضغط. ويوضح المنحني المنقط في الشكل (5) مدى التوافق بين النتائج العملية والمعادلة (6).

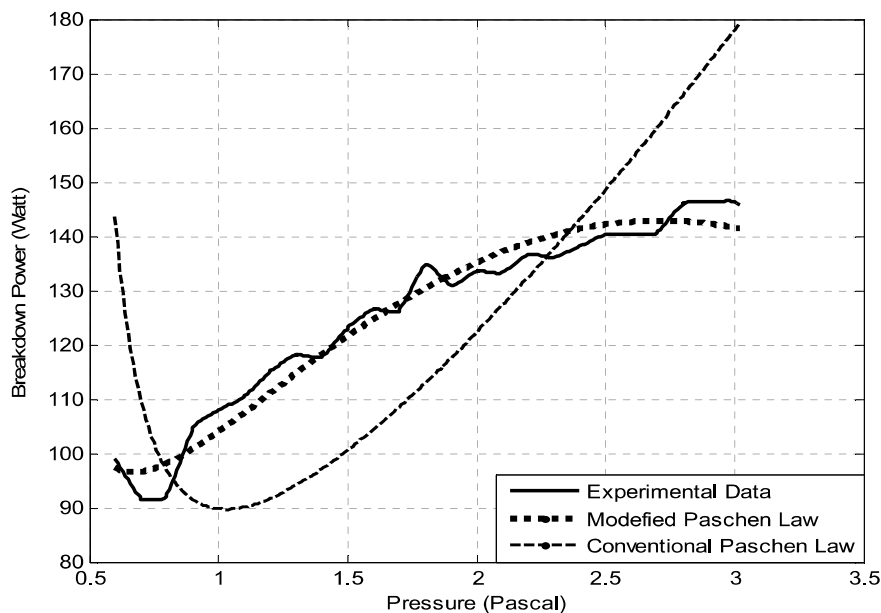
$$P = \frac{E^2}{377} \quad (4)$$

حيث يمثل العدد 377 الممانعة الذاتية للفراغ بوحدات الأوم، أي أن المجال E سوف يتتناسب مع القدرة المجهزة وبذلك فإنه يمكن إعادة كتابة المعادلة (2) بدلالة القدرة بالشكل التالي:

$$P_{BK} = \frac{Ap^2}{(\ln(Bp) + C)^2} \quad (5)$$

حيث تمثل كل من A و B و C ثوابت اختيارية يمكن حسابها من مواءمة النتائج العملية مع المعادلة (5) في حين تمثل P_{BK} قدرة العتبة لإحداث التفريغ. لقد تم استبدال المسافة بين القطبين d والمعامل b الذي يعتمد على كل من نوع الغاز ومادة الأقطاب في المعادلة (2) بالثابت اختياري B الذي يعتمد على الأبعاد الهندسية لحجرة التفريغ والثابت C على التوالي في حين يتضمن الثابت A معاملات التحويل الأخرى.

تمت عملية مواءمة النتائج العملية للعلاقة بين مقدار القدرة الراديويية المتولدة من المصدر واللازمة لإحداث الانهيار وبين الضغط ويوضح الخط المنقط في الشكل (5) نتائج المقارنة بين النتائج العملية ونتائج المواءمة مع المعادلة (5). يتضح هنا ان التوافق بين النتائج في الحالتين هو ضعيف جدا خصوصا عند الضغوط العالية حيث تعطي المعادلة (5) قيمًا أعلى لقدرة الانهيار من النتائج العملية مما يدل على أن



الشكل (5): مقارنة النتائج العملية للعلاقة بين الضغط وقدرة الفرج مع كل من معادلة باشن العامة وعلاقة باشن المحورة.

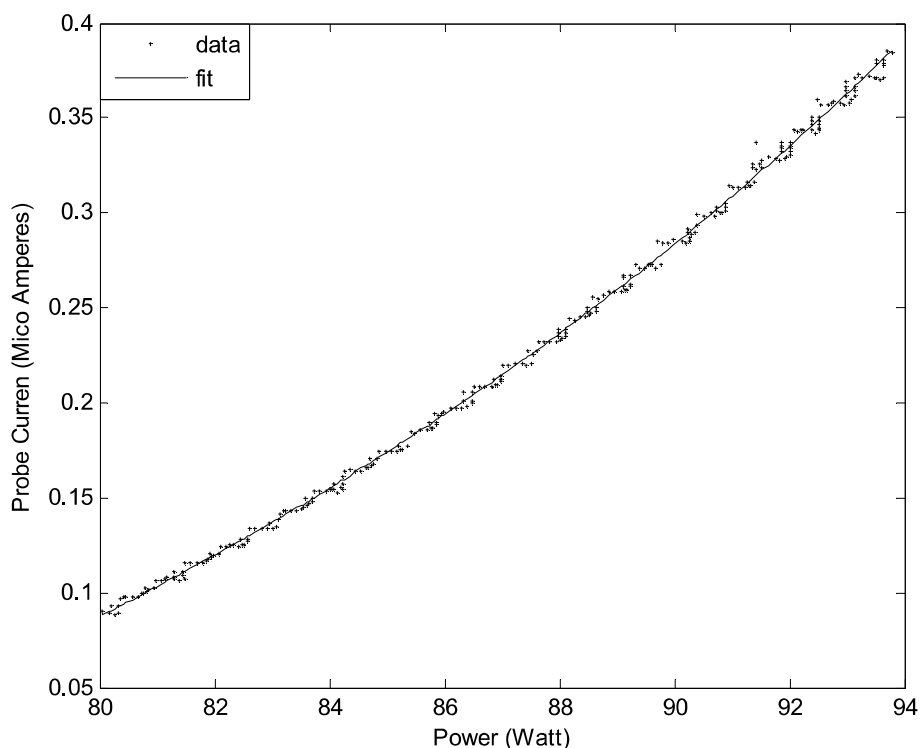
الموااءمة بين القياسات العملية للمنطقة D,C مع العلاقة التجريبية (7).

إن الأشكال عند جميع الضغوط تسلك سلوكاً مشابهاً للشكل (6) حيث تم الحصول على نتائج موااءمة جيدة جداً في جميع الحالات وبدرجة ثقة تزيد عن 95% وهو أقل قيمه لقبول نتائج الموااءمة لبرنامج ماتلاب الذي تم استخدامه. بعد إجراء عمليات الموااءمة تم رسم علاقة قيم المعاملات الثلاثة في المعادلة (7) مع الصيغة في الأشكال (c, b, a: 7).

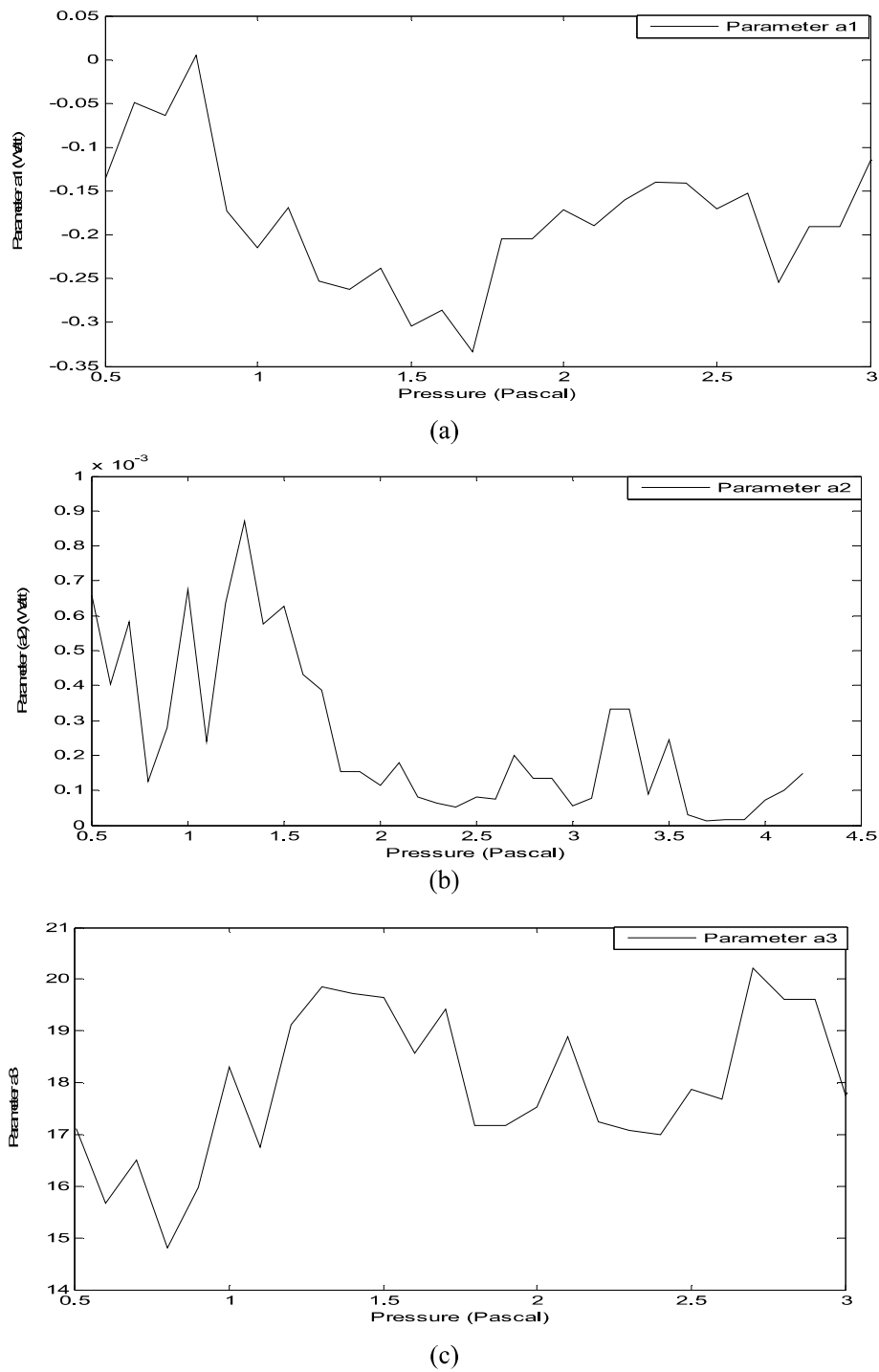
تمثل المنطقة المحصورة بين النقاطين C, D في الشكل (3) عملية الانتقال من التفريغ السعوي إلى التفريغ الحسي. ولأجل محاولة معرفة طبيعة عملية الانتقال هذه فقد تم عزل النقاط المحصورة بين C,D لجميع المنحنيات في الشكل (1) وتم إجراء عمليات موااءمه مع المعادلة التجريبية:

$$P = a_1 + a_2 e^{P/a_3} \quad (7)$$

حيث تمثل كل من P و p القدرة والضغط على التوالي في حين تمثل كل من a_1, a_2, a_3 معاملات تجريبية حرة. وبين الشكل (6) إحدى نتائج عملية



الشكل (6): إحدى نتائج عملية الموااءمة بين القياسات العملية للمنطقة D,C مع العلاقة التجريبية (7).



الشكل (7): علاقات المعاملات الثلاثة في المعادلة (7) مع الضغط.

الثابت a_2 مابين 0.03 و 0.3 في حين تتراوح قيم الثابت a_3 ما بين 17 و 20. أما في المنطقة التي تمثل الضغوط التي تقل عن 1.5 باسكال فيلاحظ وجود تغير كبير نسبياً بالمقارنة مع المنطقة السابقة حيث

يتضح من ملاحظة تغير قيم المعاملات الثلاثة أعلاه في الشكل (7) أن أقيامها تکاد تكون ثابتة مع الضغط ضمن نطاق الأخطاء التجريبية عند قيم الضغوط التي تزيد عن 1.5 باسكال حيث تتراوح قيم الثابت a_1 في هذه المنطقة ما بين 0.32 – 0.15 و تتراوح قيم

المصادر :

- [1]Makabe, T. and Petrovic, Z., "Plasma Electronics: Applications in Microelectronic Device Fabrication", (Taylor & Francis Group, LLC ,2006).
- [2]Boyd, T.I.M. and Sanderson, J. J., "The Physics of Plasmas", (Cambridge University Press, 2003).
- [3]Raizer, Y.P., "Gas Discharge Physics", (Springer-Velag, 1987).
- [4]Lieberman, M.A. and Lichtenberg, A.J., "Principles of Plasma Discharges and Material Processing", (John Wiley & Sons, 1994).
- [5]Chung, T. H., *et al.*, J. Phys. D: Appl. Phys. 29 (1996) 1014.
- [6]Lisovskiy, V.A. and Yegorenkov, V.D., J. Phys. D: Appl. Phys. 31 (1998) 3349.
- [7]Park, J., *et al.*, J. of Appl. Phys. 89 (2001) 1.
- [8]Lisovskiy, V., *et al.*, EPL (Europhysics Letters) 82 (2008).
- [9]Moon, S., *et al.*, Phys. of Plasmas, 13 (2006) 033502.
- [10]Carazzetti, P. and Shea, H.R., J. Micro/Nanolith. MEMS MOEMS 8(3) (2009) 031305.

يلاحظ أن هناك ثابت a_1 يكون أكبر بشكل عام ويتخذ قيمة موجبة عند الضغط 0.8 بascal وهذا ما لم يلاحظ في المنطقة السابقة. كذلك فإن الثوابت a_2 و a_3 تتبع قيمًا أعلى في هذه المنطقة وتبلغ أقصى قيمة لها عند الضغط 0.8 بascal. ان مقارنة هذه النتائج مع التصرف في الشكل (4) يؤدي إلى الاستنتاج بأن تصرف التفريغ عند الضغط 0.8 بascal هو ذات طبيعة خاصة حيث يمثل هذا الضغط نقطة الانتقال من الجهة اليسرى إلى الجهة اليمنى من منحنى باشن. مما يؤيد الفكرة القائلة بأن التفريغ بالволгиات الراديوية يشابه في بعض التواقي خواص التفريغ بالتيار المستمر.

الاستنتاجات :

يتبيّن مما ورد أعلاه بأن طبيعة التفريغ التوهجي باستخدام الموجات الراديوية 13.56 ميكاهرتز يمكن أن توصف باستخدام معادلة محوّرة عن معادلة باشن يؤخذ فيها بنظر الاعتبار تأثير مركبة المجال المغناطيسي الذي يؤدي إلى تسهيل عملية التفريغ كما يمكن بوضوح ملاحظة نقطة أوّلًا قدرة على المنحنى. إن انعكاسات منحنى باشن يمكن أن تظهر أيضًا بشكل واضح إلى حد كبير في منطقة انتقال التفريغ من كونه ذات طبيعة سعوية إلى أن يصبح ذات طبيعة حثية.